

# Algoritmo Genético Construtivo na otimização de problemas combinatoriais de agrupamentos

*João Carlos Furtado*

LACESM/CT - UFSM - Universidade Federal de Santa Maria  
Campus Universitário - Santa Maria - RS

*Luiz Antonio Nogueira Lorena*

LAC/INPE- Instituto Nacional de Pesquisas Espaciais  
Av. dos Astronautas 1758 - São José dos Campos - SP

## **Resumo**

*O Algoritmo Genético Construtivo (AGC) introduz novas características aos Algoritmos Genéticos (AG) tradicionais. É bem aceito que “blocos construtivos” (esquemas) formam a base para um bom comportamento dos AGs. Os esquemas entretanto são usualmente avaliados indiretamente, avaliando uma estrutura que o contenha. O AGC considera uma população de tamanho variável que é composta por esquemas e estruturas, que são avaliados através de um processo de adaptação proporcional. Eles são incluídos na população se seus ranks ultrapassam um limiar dado por um parâmetro de evolução, que é atualizado a cada geração, e os esquemas e estruturas que já se encontram na população podem sair pelo mesmo teste. A recombinação procura preservar os bons esquemas, e uma mutação de busca local é aplicada a estruturas para obter a diversificação da população. Para os problemas de agrupamentos os esquemas e estruturas são representados por cadeias binárias, e heurísticas de atribuição complementam a representação de uma maneira única para três problemas de agrupamentos em grafos. Os problemas de agrupamento estudados são, o problema clássico das  $p$ -medianas (PPM), o problema capacitado das  $p$ -medianas (PPMC) e o problema de agrupamento de corte mínimo (PCM). Resultados muito bons foram obtidos quando o AGC foi aplicado a instâncias disponíveis na literatura.*

*Palavras chave:* Problemas de agrupamentos, problema das  $p$ -medianas, problema capacitado das  $p$ -medianas, e problema de agrupamento de corte mínimo.

## **1. Introdução**

*Problemas de agrupamento (clustering) ocorrem geralmente na classificação de dados para algum propósito, por exemplo, para a simples recuperação ou para efetuar uma análise nos dados. Qualquer algoritmo de agrupamento procura grupos naturais ou inerentes aos dados, usando medidas de “distancia” ou “similaridades” entre dados individuais [39,41].*

Recentemente foi proposta uma *versão construtiva de Algoritmos Evolutivos* (chamada de *Algoritmo Genético Construtivo (AGC)*) e sua aplicação testada em alguns problemas de Otimização Combinatória (veja tese de doutorado de *J. C. Furtado* em <http://www.lac.inpe.br/~lorena/teseJC/CGA-tese.ps>). Os Algoritmos Genéticos baseiam-se na evolução controlada de uma população de estruturas, e estão muito difundidos nos dias de hoje, apresentando várias aplicações bem sucedidas a

problemas de otimização [1,6,7,13,14,15,17,20,23,26,27,28,29]. Apresenta-se neste trabalho a aplicação do *AGC* a três problemas de agrupamentos em grafos.

Suponha que desejamos encontrar em um grafo  $G=(V,E)$  uma partição do conjunto de vértices  $V$  em um número pré definido (em geral) de grupos, otimizando alguma medida tomada na combinação dos pesos associados aos vértices e/ou arestas. Os problemas de agrupamento examinados são o *problema clássico das p-medianas (PPM)*, o *problema capacitado das p-medianas (PPMC)* e o *problema agrupamento de corte mínimo (PCM)*.

No *PPM* o objetivo é localizar  $p$  facilidades (*medianas*), de forma a minimizar a soma das distancias de cada vértice a sua facilidade mais próxima. Hakimi [18,19], foi o primeiro pesquisador a formular o problema, para a localização de uma única facilidade, em seguida, generalizando para múltiplas medianas. Ele propôs um simples procedimento de enumeração para o problema. O problema é reconhecidamente *NP-hard* [12]. Diversas heurísticas têm sido desenvolvidas para o problema das  $p$ -medianas. Algumas são usadas para obter boas soluções iniciais ou para calcular soluções intermediárias em nós numa árvore de busca. Teitz e Bart [40], Goodchild e Noronha [16] e Denshan e Rushton [8] propuseram *heurísticas de troca*. Rolland, Schilling e Current [35] aplicaram *busca tabu*, Rosing e ReVelle uma *heurística de concentração* [36] e Rosing, ReVelle, Schilling e Current [37] compararam as duas propostas. Algoritmos mais complexos exploram uma *árvore de busca*. Estes apareceram em Efraymson e Ray [9], Jarniven e Rajala e Sinervo [21], Neebe [31], Christofides e Beasley [5], Beasley [4] e Galvão e Raggi [10, 11]. Algumas abordagens bem sucedidas usam informações primal/dual do problema (Senne e Lorena [38] e Beasley [2,4]).

No *PPMC* são consideradas capacidades ao serviço que será oferecido pelas medianas. O serviço total demandado pelos vértices identificados nos grupos das medianas não pode ultrapassar as capacidades de serviço das medianas. Aparentemente este problema não foi tão estudado como o *PPM*. Problemas semelhantes aparecem em Klein e Aronson [24], Mulvey e Beck [30] e Osman e Christofides [32]. Neste último trabalho encontra-se uma bibliografia razoavelmente completa de outros trabalhos relacionados ao problema, e alguns problemas testes.

O *PCM* considerado neste trabalho considera a formulação dada em Johnson e Mehrotra [22]. É o problema de particionar o conjunto de vértices  $V$  em  $p$  *agrupamentos*, tal que a soma dos pesos dos vértices nos agrupamentos esteja entre limites inferior e superior, enquanto que a soma dos pesos das arestas é maximizada (ou a soma dos pesos das aresta que estão fora dos agrupamentos é minimizada).

Os problemas são formalizados a seguir.

*PPM* :

Dado um conjunto de  $n$  pontos de demanda (vértices)  $V = \{1, \dots, n\}$  e uma matriz de distancias (pesos)  $[\mu_{jl}]$ ,  $\mu_{jl} \geq 0$ ,  $\mu_{jj} = 0$  e  $\mu_{jl} = \mu_{lj}$  para todo  $j, l \in V$ , indicando distancias entre pares de vértices. O conjunto  $V$  é particionado em

$p$  grupos,  $2 \leq p < n$ ,  $C_1, C_2, \dots, C_p$ , e  $V_i = \{\zeta_1, \dots, \zeta_p\}$ ,  $V_i \subset V$ , é o conjunto de índices das medianas de cada grupo (os pontos de serviço)  $\zeta_i \in C_i$ ,  $i = 1, \dots, p$ . O problema *PPM* procura por partições de  $V$  que

$$\text{minimizam } \sum_{i=1}^p \left( \sum_{j \in C_i} \mu_{\zeta_i, j} \right).$$

*PPMC*:

Suponha agora que para cada ponto de demanda  $j \in V$  existe um serviço positivo demandado  $a_j$ . Seja  $Q_i$  a capacidade do grupo  $i$ . O *PPMC* procura por partições de  $V$  que

$$\text{minimizam } \sum_{i=1}^p \left( \sum_{j \in C_i} \mu_{\zeta_i, j} \right),$$

$$\text{satisfazendo } \sum_{j \in C_i} a_j \leq Q_i, i=1, \dots, p.$$

*PCM*:

Seja  $E(C_i)$  o conjunto de arestas referente a  $C_i$ , e  $\mu_e$ ,  $e \in E(C_i)$  os custos não negativos das arestas em  $C_i$ , e admita que cada grupo tenha limites de capacidade ( $Q_{\min}$  e  $Q_{\max}$ ). As medianas não são consideradas para o *PCM* e o objetivo é identificar a partição  $C_1, C_2, \dots, C_p$  que

$$\text{maximiza } \sum_{i=1}^p \left( \sum_{e \in E(C_i)} \mu_e \right),$$

$$\text{satisfazendo } Q_{\min} \leq \sum_{j \in C_i} a_j \leq Q_{\max}, i=1, \dots, p.$$

Neste trabalho, inicialmente apresentamos uma revisão do *AGC*, destacando suas principais características, bem como sua aplicação aos problemas *PPM*, *PPMC* e *PCM*. Finalmente os resultados computacionais e conclusões são apresentados.

## 2. Algoritmo Genético Construtivo - resumo

Apresentamos nesta seção um resumo do *AGC* e as definições necessárias para sua aplicação aos problemas de agrupamento.

Uma visão geral do *AGC* pode ser dada através do pseudocódigo:

### ***AGC* {Algoritmo Genético Construtivo}**

$\alpha := 0$  ;

$\varepsilon := 0.05$ ;

**Inicialize**  $P_\alpha$  ;

{ intervalo de tempo }

{ população inicial }

```

Avalie  $P_\alpha$  ; { adaptação proporcional }
Para todo  $s_k \in P_\alpha$  calcule  $\delta(s_k)$  { calculo do rank }
fim_para
Enquanto (não – condições de parada) faça
  Para todo  $s_k \in P_\alpha$  satisfazendo  $\alpha < \delta(s_k)$  faça { teste de evolução }
     $\alpha := \alpha + \varepsilon$  ;
    Selecione  $P_\alpha$  de  $P_{\alpha-\varepsilon}$  ; { operador de reprodução }
    Recombine  $P_\alpha$  ; { operadores de recombinação }
    Avalie  $P_\alpha$  ; { adaptação proporcional }
  fim_para
  Para todo novo  $s_k \in P_\alpha$  calcule  $\delta(s_k)$  { calculo do rank }
fim_para
fim_enquanto

```

---

Alguns passos no algoritmo AGC são sensivelmente diferentes de um Algoritmo Genético clássico. O AGC trabalha com uma *população dinâmica*, que cresce com o uso dos *operadores de recombinação*, e pode decrescer guiado pelo *parâmetro de evolução*  $\alpha$  (aumentado de  $\varepsilon$  a cada geração). Quando uma estrutura ou esquema é criada, recebe uma *avaliação proporcional* e seu *rank*  $\delta(s_k)$  que será usado no *teste de evolução*. Outra diferença central é a consideração explícita de *esquemas* e o novo processo de *avaliação-fg* (veja os detalhes em <http://www.lac.inpe.br/~lorena/teseJC/CGA-tese.ps>).

## 2.1. Representação de estruturas e esquemas

Vamos usar uma *cadeia* com alfabeto binário para a representação dos três problemas de agrupamentos. *Heurísticas de atribuição* fazem a correspondência entre estruturas e esquemas e o problema de agrupamento em questão. Alguns vértices são eleitos como *vértices sementes*, isto é, os vértices iniciais de cada grupo, que irão atrair de alguma maneira os outros vértices que participam da representação.

Para qualquer dos três problemas de agrupamento (*PPM*, *PPMC* e *PCM*),  $(1, 0, 0, 0, 0, 0, 0, 0, 1, 1)$ , é uma *estrutura* para um problema de 10 vértices onde procura-se a formação de 3 grupos, enquanto que  $(1, \#, 0, 0, 0, \#, 0, 0, 1, 1)$  é o que chamamos de *esquema* (os vértices 2 e 6, representados por #, não estão sendo considerados). Seja  $V_1 = \{\zeta_1, \dots, \zeta_p\}$ , o conjunto de índices dos *vértices sementes* (representados por 1 nas cadeias) de cada grupo que será formado. Para a estrutura e esquema acima,  $V_1 = \{1, 9, 10\}$ . Seja  $V_2$  o conjunto de índices dos vértices *não-sementes* (representados por 0 nas cadeias). A correspondência com cada um dos problemas é feita aplicando as seguintes *heurísticas de atribuição*:

### HA-PPM

1) *Inicialize os grupos com a atribuição dos vértices sementes*

$$C_1 = \{\zeta_1\}, C_2 = \{\zeta_2\}, \dots, C_p = \{\zeta_p\},$$

- 2) *Atribua os vértices não-sementes a seu vértice semente mais próximo, formando a partição  $C_1, C_2, \dots, C_p$*

#### **HA-PPMC**

- 1) *Inicialize os grupos com a atribuição dos vértices sementes*  
 $C_1 = \{\zeta_1\}, C_2 = \{\zeta_2\}, \dots, C_p = \{\zeta_p\},$
- 2) *Enquanto a capacidade de cada grupo permitir, atribua os vértices não-sementes a seu vértice semente mais próximo, formando a partição  $C_1, C_2, \dots, C_p$*

#### **HA-PCM**

- 1) *Inicialize os grupos com a atribuição dos vértices sementes*  
 $C_1 = \{\zeta_1\}, C_2 = \{\zeta_2\}, \dots, C_p = \{\zeta_p\},$
- 2) *Enquanto a capacidade de cada grupo permitir, atribua os vértices não-sementes ao grupo que traga maior retorno da soma dos pesos das arestas formadas pelo conjunto que compõe os vértices do grupo e o vértice não-semente considerado, ponderado pelo número de elementos do grupo.*

No caso dos problemas *PPM* e *PPMC* os vértices sementes são as medianas que atraem os outros vértices mais próximos para seus grupos. No caso do problema *PCM*, os vértices sementes não são medianas, mas somente vértices iniciais que atraem os outros vértices para os grupos.

## **2.2. População inicial**

A *população inicial*  $P_0$  é formada somente por *esquemas*, que são gerados aleatoriamente. Em cada esquema existem exatamente  $p$  *sementes* distribuídas em posições aleatórias e 20% dos demais vértices são também distribuídos em posições aleatórias (*não-sementes*). Os vértices restantes não são considerados. Conforme o problema considerado, as heurísticas *HA-PPM*, *HA-PPMC* e *HA-PCM* são então aplicadas a cada esquema, obtendo seus grupos correspondentes.

## **2.3. Avaliação de esquemas e estruturas**

Como as estruturas da população inicial são esquemas, não representam soluções para o problema (alguns vértices não estão sendo considerados), uma avaliação direta com a função objetivo de cada problema não faz sentido. Assim, uma das principais características deste novo método de otimização esta baseada em uma avaliação dupla, chamada de *avaliação-fg*, descrita a seguir.

Considerando  $P_\alpha$ , a população no tempo  $\alpha$ , são definidas as funções  $f: P_\alpha \rightarrow \mathcal{R}_+$  e  $g: P_\alpha \rightarrow \mathcal{R}_+$ , admitindo-se, sem perda de generalidade, que  $g(s_k) \geq f(s_k)$ . É também definido um limite superior para o valor da função  $g$ , i.e.,  $g_{\max} \geq \max_{s_k \in P_\alpha} g(s_k)$ . A *figura*

1 mostra graficamente a definição das funções  $f$ ,  $g$  e  $g_{\max}$ .

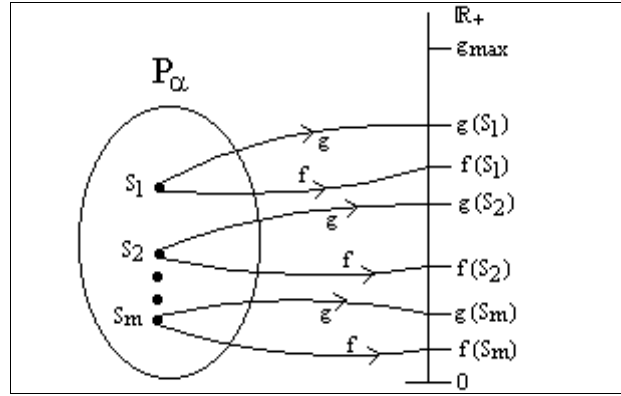


Figura 1: Representação gráfica das funções de avaliação.

A população é formada de  $m$  estruturas. Para cada estrutura existem duas funções de avaliação que sugerem o processo de adaptação da estrutura ao meio. O valor dessas funções produzem limites que serão usados em um processo semelhante ao usado no algoritmo A\* [33] e permitem que a população consiga evoluir, usando como informação o desvio em relação ao valor máximo  $g_{max}$ . O desvio percentual esperado em relação a  $g_{max}$  será dado por  $d$ .

Para cada estrutura  $s_k$ , existe um desvio percentual entre os valores  $g(s_k)$  e  $f(s_k)$  em relação a  $g(s_k)$ , que será dada por:

$$d_k = \frac{g(s_k) - f(s_k)}{g(s_k)}, i = 1, \dots, m.$$

Para um mesmo desvio absoluto  $g(s_k) - f(s_k)$  o desvio percentual diminui com o aumento de  $g(s_k)$ . Uma estrutura deve ser eliminada da população se, para algum valor de  $\alpha$  ( $\alpha \geq 0$ ),  $d g_{max} \leq d_k g(s_k) + \alpha d (g_{max} - g(s_k))$ . O objetivo a ser alcançado (esperado) é representado por  $d.g_{max}$ , enquanto a estrutura  $s_k$  possui um desvio  $d_k g(s_k)$ . O desvio  $d (g_{max} - g(s_k))$  representa o desvio esperado para atingir  $g_{max}$  a partir de  $g(s_k)$ . Para  $0 \leq \alpha \leq 1$  a heurística seria admissível.

O parâmetro  $\alpha \geq 0$  poderá ser isolado como  $\alpha \geq \frac{d g_{max} - d_k g(s_k)}{d (g_{max} - g(s_k))} = \delta(s_k)$  para

indicar quando a estrutura deixaria de ser admissível na população. Isso corresponde a retirar a estrutura  $s_k$  da população. O parâmetro  $\alpha$  é considerado um elemento de controle da evolução da população inicial. Considera-se variar  $\alpha$  a partir de zero, em pequenos intervalos de evolução, onde novas gerações são criadas. Cada estrutura  $s_k$ , quando criada recebe um valor  $\delta(s_k)$  que indica o seu tempo de permanência na população. Quanto menor o seu valor  $d_k$ , melhor será sua adaptação, e poderá permanecer mais tempo na população, e com maior probabilidade de participar dos operadores recombinação e mutação. Quanto maior a diferença  $g_{max} - g(s_k)$ , menor seu tempo de permanência na população.

Nossa condição de parada será quando a população for completamente eliminada ou para um determinado número de gerações. No processo a melhor estrutura será preservada.

## 2.4. Funções de avaliação para os problemas PPM, PPMC e PCM

Particularizando as funções  $f$ ,  $g$  e o parâmetro  $g_{max}$  para cada problema:

### PPM e PPMC

Após a aplicação das respectivas heurísticas *HA-PPM* ou *HA-PPMC* aos esquemas e/ou estruturas da população  $P_\alpha$ , a função  $g$  é definida como

$$g(s_k) = \sum_{i=1}^p \sum_{j \in C_i(s_k)} \mu_{\zeta_{ij}}; \text{ e a função } f \text{ definida como } f(s_k) = \sum_{i=1}^p \lambda_i \cdot [|C_i(s_k)| - 1],$$

onde  $\lambda_i = \min_{j \in C_i(s_k)} \{\mu_{\zeta_{ij}}\}$  é a menor distancia que foi atribuída ao grupo  $i$ , e  $|C_i(s_k)|$

é a cardinalidade do conjunto  $C_i(s_k)$ .

Claramente  $f(s_k) \leq g(s_k)$ , para todo  $s_k \in P_\alpha$ . Idealmente a diferença  $g(s_k) - f(s_k)$  deve suficientemente pequena. Se  $s_k$  é uma estrutura então a função  $g$  produz o valor de uma solução ao problema. Este valor isolado não tem significado quando  $s_k$  é um esquema, e o uso da função  $f$  em conjunto com a função  $g$  apresenta uma avaliação proporcional do esquema (ou da estrutura) que esta sendo considerado.

### PCM

Após a aplicação da heurística *HA-PCM* os  $p$  ( $=|V_1(s_k)|$ ) grupos  $C_i(s_k)$  são identificados, correspondentes ao conjunto semente  $V_1(s_k) = \{\zeta_1, \zeta_2, \dots, \zeta_p\}$ .

$E[C_i(s_k)]$  é o conjunto de arestas no subgrafo induzido pelo grupo  $C_i(s_k)$ . O *PCM* foi formulado como um problema de maximização, e neste caso, quando  $s_k$  é uma estrutura, a função  $f$  dará o valor da função objetivo. Ela é definida como

$$f(s_k) = \sum_{i=1}^p \sum_{e \in E[C_i(s_k)]} \mu_e, \text{ e a função } g \text{ é definida como } g(s_k) = \sum_{i=1}^p \lambda_i |E[C_i(s_k)]|,$$

onde  $\lambda_i = \max_{e \in E[C_i(s_k)]} \{\mu_e\}$  é o maior peso entre as arestas de  $C_i(s_k)$ .

Para os três problemas, o limite superior comum  $g_{max}$  é obtido no início do algoritmo AGC, gerando uma estrutura completa de forma aleatória e fazendo  $g_{max}$  receber a avaliação  $g$  para esta estrutura. Para assegurar de que  $g_{max}$  será sempre um limite superior, depois da recombinação cada estrutura nova  $s_{nova}$  será rejeitada se  $g_{max} \leq g(s_{nova})$ .

## 2.5. Seleção e recombinação

Após a geração de cada estrutura e posterior avaliação, é atribuída uma ordem na população baseada em dois critérios:

- esquemas que consideram uma fração maior dos dados do problema;
- estruturas ou esquemas onde a diferença relativa entre os valores das funções  $f$  e  $g$  forem menores.

Assim, a população é ordenada pela chave:  $\Delta(s_k) = \frac{1 + d_k}{V_1 + V_2}$ .

Um operador irá selecionar duas estruturas e/ou esquemas que devem recombinar-se de forma a gerar uma ou várias novas estruturas e/ou esquemas. Na escolha das duas estruturas e/ou esquemas,  $s_{base}$  e  $s_{guia}$ , a estrutura  $s_{base}$  é selecionada entre as  $n$  primeiras (melhores) estruturas na ordenação e  $s_{guia}$  é selecionada na população inteira;

Uma vez selecionadas as duas estruturas, se  $s_{base}$  é um esquema, o operador recombinação é usado para a construção de uma nova geração na população. Denominaremos  $s_{base}$  de esquema base e de  $s_{guia}$  esquema ou estrutura guia.

Na recombinação, cada *label* do esquema base é comparado ao correspondente (na mesma posição) no esquema ou estrutura guia. Diversas recombinações podem ocorrer e existirá um tratamento para cada caso (*examinados nesta ordem*):

*Caso 1:* Quando base e guia apresentam *labels* iguais, o esquema ou estrutura resultante não é alterado.

*base:* ( 1, 0, #, 0, 1, #, 1, # )  
*guia:* ( #, 0, 1, 1, 1, #, 0, 0 )  
*resultante:* ( \_, 0, \_, \_, 1, #, \_, \_ )

*Caso 2:* Quando a base apresenta um *label* diferente de # e a guia apresenta um *label* igual a #, o *label* da base é preservado.

*base:* ( 1, 0, #, 0, 1, 0, 1, # )  
*guia:* ( #, 0, 1, 1, 1, #, 0, 0 )  
*resultante:* ( 1, \_, \_, \_, \_, 0, \_, \_ )

*Caso 3:* Quando a base apresenta um *label* igual a # e a guia um *label* igual a 0, o *label* resultante será 0.

*base:* ( 1, 0, #, 0, 1, 0, 1, # )  
*guia:* ( #, 0, 1, 1, 1, #, 0, 0 )  
*resultante:* ( \_, \_, \_, \_, \_, \_, \_, 0 )

*Caso 4:* Quando a base apresenta um *label* diferente de 1 e a guia um *label* igual a 1. Neste caso, uma semente esta sendo introduzida na estrutura resultante. Uma vez que o número de sementes em cada estrutura deve ser igual a  $p$ , uma semente da base deve ser retirada e substituída por um vértice que não seja semente, ou seja, um *label* igual a 0. Como podemos retirar da base qualquer uma das  $p$  sementes existentes, dois critérios podem ser usados:

- escolher aleatoriamente uma das sementes e realizar sua substituição, o que acarretará em um nova estrutura;
- realizar a substituição das  $p$  sementes, o que acarretará em  $p$  novas estruturas.

Usando o segundo critério, temos como exemplo:

```

base:      ( 1,0,#,0,1,#,1,#)
guia:     ( #,0,1,1,1,#,0,0)
resultantes: ( 0,0,1,0,1,#,1,#)
           ( 1,0,1,0,0,#,1,#)
           ( 1,0,1,0,1,#,0,#)

```

*Caso 5:* Quando a base apresenta um *label* igual a 1 e a estrutura guia apresenta um *label* igual a 0. Neste caso, o *label* resultante será igual a 0, no entanto, a estrutura terá  $p - 1$  sementes. Desta forma, é necessário que algum vértice que não pertencia ao conjunto de sementes passe a ser uma semente. Novamente existem duas possibilidades:

- escolher aleatoriamente um vértice que não é semente e torná-lo semente;
- substituir todos os vértices que não são sementes por sementes, dando origem a tantas novas estruturas quanto o número de vértices que não são sementes na estrutura base.

Usando o segundo critério, temos:

```

base:      ( 1,0,#,0,1,#,1,#)
guia:     ( #,0,1,1,1,#,0,0)
resultantes: ( 1,1,#,0,1,#,0,#)
           ( 1,0,#,1,1,1,#,0,#)

```

Além do operador recombinação, usamos o operador *mutação*. Este operador é aplicado no caso em que  $s_{base}$  é uma estrutura completa. Na mutação, cada semente da estrutura permuta de posição com os vértices que não pertencem ao conjunto das sementes, gerando novas estruturas ( $|V| - |V_s|$  estruturas). No algoritmo implementado, iniciamos com o operador recombinação, não havendo mutação. A medida que novas estruturas são geradas, o operador mutação torna-se mais freqüente, chegando ao final do processo como único operador.

### 3. Resultados computacionais

O AGC foi testado inicialmente em uma amostra dos dados para o PPM que se encontram na *OR-library* [3]. Os tamanhos das instancias são 100, 200, 300, 400, e 500 vértices. O número de medianas varia de 5 a 67. Os resultados computacionais estão apresentados na *tabela 1*. A solução do AGC é a avaliação de  $g(s_k)$  para a melhor estrutura gerada. O  $gap = [(solução\ AGC - Solução\ ótima) * 100] / (solução\ AGC)$ .

Todos os *gaps* foram menores que 0.73% e nulos para nove instancias. O algoritmo foi codificado em C, e os testes avaliados em um *Pentium 166 Mhz*. Pode ser notado na *tabela 1* que um número grande de medianas aumenta o tempo computacional. Isso ocorre pelo uso mais intensivo da busca local de mutação. O controle de evolução (intervalo de tempo) usado foi:  $\epsilon = 0.05$  para  $0 \leq \alpha \leq 1$  e  $\epsilon = 0.025$  para  $\alpha > 1$ ; e o desvio proporcional admitido  $d = 0.1$ .

<i>Problema</i>	<i>Vertices (n)</i>	<i>Medianas (p)</i>	<i>Solução ótima</i>	<i>Solução AGC</i>	<i>gap (%)</i>	<i>Tempo (segundos)</i>
<i>pmed1</i>	100	5	5819	5819	0	28
<i>pmed2</i>	100	10	4093	4093	0	37
<i>pmed3</i>	100	10	4250	4250	0	34
<i>pmed4</i>	100	20	3034	3034	0	230
<i>pmed5</i>	100	33	1355	1360	0.36	375
<i>pmed6</i>	200	5	7824	7824	0	172
<i>pmed7</i>	200	10	5631	5631	0	238
<i>pmed8</i>	200	20	4445	4454	0.20	1055
<i>pmed9</i>	200	40	2734	2754	0.73	3331
<i>pmed10</i>	200	67	1255	1257	0.15	4325
<i>pmed11</i>	300	5	7696	7696	0	369
<i>pmed12</i>	300	10	6634	6637	0.04	677
<i>pmed13</i>	400	5	8162	8162	0	555
<i>Pmed14</i>	500	5	9138	9138	0	1875

Tabela 1: Resultados computacionais dos testes realizados.

Para o problema *pmed1* traçamos os seguintes gráficos (figuras 1 a 4):

Figura 1: Tamanho da população por geração

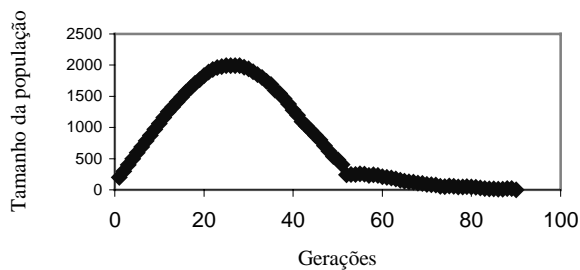


Figura 3: Melhor dk por geração

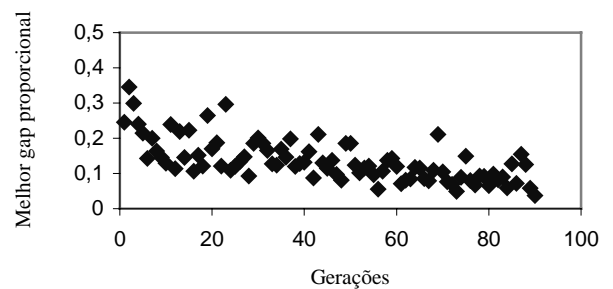


Figura 2: Número máximo de vértices por geração

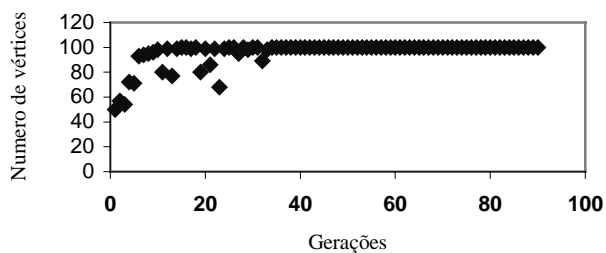
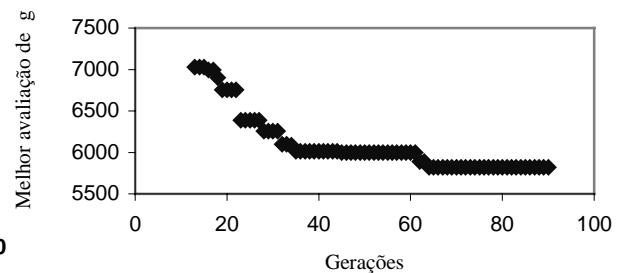


Figura 4: Melhor valor de g por geração



Onde:

*Figura 1:* Mostra como varia o tamanho da população;

*Figura 2:* Mostra o crescimento do número de vértices da estrutura com máximo valor  $|V_1|+|V_2|$  por geração;

*Figura 3:* Mostra os valores do desvio  $d_k$  em função do número de gerações; e

*Figura 4:* Mostra a evolução da função objetivo  $g(s_k)$  em relação as gerações.

O *AGC* foi também aplicado a um conjunto de instancias do *PPMC*, propostas no trabalho de Osman e Christofides [32]. Foram considerados dois conjuntos de 10 instancias, com (50x5) e (100x10) vértices e medianas, respectivamente. A *tabela 2* apresenta os *gaps* para a melhor solução de 7 heurísticas, e o tempo médio para 5 replicações do *AGC*. As colunas representam a identificação do problema, resultados de heurísticas usadas em [32] (*H.OC*, *H1+F1*, *H1+B1*, *HSS.OC*, *HSS.C* e *TS1+FBA*), os *gaps* obtidos pelo *AGC* e os seus tempos.

A heurística *H.OC* é uma heurística construtiva simples, enquanto que *H1+F1* e *H1+B1* iniciam com o resultado de *H.OC* e realizam permutações usando as estratégias “*first improve*” e “*best improve*”. Os algoritmos *HSS.OC* e *HSS.C* são implementações de *simulated annealing* que usam estratégias distintas de resfriamento da temperatura. O algoritmo *TS1+FBA* implementa uma versão da *busca tabu* [32].

Observando os resultados na *tabela 2*, pode-se concluir que o *AGC* apresenta resultados tão bons quanto *TS1+FBA* e ligeiramente pior que *HSS.OC* e *HSS.C*, isto é, os melhores resultados são comparáveis.

Prosseguimos os testes computacionais com instancias do *PCM* propostas no trabalho de Johnson e Mehrotra [22]. Dois conjuntos de instancias foram testados, o primeiro com  $Q=450$  e o segundo com  $Q=512$ . O número de vértices, grupos e arestas variam, e as soluções ótimas dos problemas foram obtidas em [22] usando um método exato. A *tabela 3* apresenta os resultados da aplicação do *AGC* nas instancias. O *gap* neste caso é calculado por  $gap = [(solução\ ótima - solução\ AGC) * 100] / (solução\ ótima)$ . O resultados do *AGC* podem ser considerados bons, com tempos computacionais baixos.

#### 4. Conclusões

Os resultados mostram que o *AGC* é eficiente na otimização dos problemas de agrupamentos considerados. Observamos que em muitas instâncias o algoritmo foi capaz de obter a solução ótima num pequeno intervalo de tempo, ficando no geral a menos de 1% da solução ótima.

Verificamos que existe maior dificuldade em obter boas soluções quando o número de sementes é maior. Acreditamos que isto ocorre devido a representação usada para as estruturas. O *AGC* é um método flexível, i.e., outras restrições poderiam ser facilmente tratadas nos problemas, e existe muita liberdade também na definição das heurísticas de atribuição.

A representação usada e os decodificadores de atribuição (heurísticas) podem ser usados em outros problemas de agrupamentos, mas é importante salientar que os conceitos básicos do AGC são independentes da representação e decodificadores. Alguns resultados anteriores usam representações diferentes na aplicação do AGC aos problemas de Cortes bi-dimensional [25] e ao problema da k-coloração [34].

Finalmente, acreditamos que uma análise mais profunda dos parâmetros empregados pode trazer ainda melhores resultados.

**Agradecimentos:** O trabalho do segundo autor recebeu apoio parcial do CNPq através dos projetos de números 350034/91-5, 520844/96-3, 680082/95-6 e da FAPESP nos projetos números 95/9522-0 e 96/04585-6.

Problema	H.OC	H1+FI	H1+BI	HSS.OC	HSS.C	TS1+FBA	AGC	Tempo (s)
1	10,23	9,39	14,72	0	2,94	2,94	0	2
2	10,27	2,97	5,13	0	0	0	0	2
3	29,42	7,98	8,65	0	0	0	0	12
4	36,86	0	0,15	0	0	0	0	2
5	21,08	12,34	1,95	0	0	0	0	8
6	13,36	8,09	8,86	0	0	0	0	2
7	22,99	8,25	4,70	0	2,28	0	0	3
8	15,24	1,70	2,07	0	0	0,12	0,73	11
9	5,17	2,79	2,65	0	0	0	0	2
10	22,67	1,80	7,47	0	0	0	1,44	14
11	75,04	1,39	1,29	0	0	0,29	0,79	614
12	62,21	3,93	0,82	0	0	0,20	0,31	296
13	80,01	11,50	2,63	0	0	0	0	327
14	66,49	1,62	7,33	0,30	0	0,30	0,50	303
15	38,91	0,54	4,21	0	0	0,36	0	315
16	86,58	11,42	4,08	0	0	0,31	0,10	271
17	61,02	6,76	5,60	0,48	0,29	0,58	0	332
18	28,95	4,41	8,91	0,19	0,19	0,19	0,19	380
19	58,48	7,17	9,11	0	0,09	0,29	0,09	410
20	86,26	3,08	2,48	0	1,39	0	3,38	503

Tabela 2: PPMC: gaps do AGC e de heurísticas de Osman & Christofides .

Problema	Q	Vértices	p	Arestas	Solução ótima	AGC	Gap (%)	Tempo (s)	
1	Cb450.30.6.47	450	30	6	47	1099	1099	0	20
2	Cb450.48.8.98	450	48	8	98	2928	2928	0	31
3	Cb450.47.8.99	450	47	8	99	1837	1826	0,59	86
4	Cb450.47.9.101	450	47	9	101	3574	3451	3,44	210
5	Cb450.61.9.187	450	61	9	187	22245	21459	3,53	118
6	Cb512.30.5.47	512	30	5	47	1174	1142	2,72	63
7	Cb512.45.7.98	512	45	7	98	3238	3209	0,89	49
8	Cb512.47.7.99	512	47	7	99	1993	1940	2,65	79
9	Cb512.47.8.101	512	47	8	101	3969	3713	6,40	322
10	Cb512.61.8.187	512	61	8	187	23564	22762	3,40	359

Tabela 3: Problema PCM: resultados do AGC.

## 5. Referências

- [1] Bäck, Th.; Schwefel, H.P. *An Overview of evolutionary algorithms for parameter optimization*. Evolutionary Computation, v. 1, p. 1-23, 1993.
- [2] Beasley, J.E. *A note on solving large p-median problems*. European Journal of Operational Research. v. 21, p. 270-273, 1985.
- [3] Beasley, J.E. *OR-Library: distribution test problems by electronic mail*. Journal of Operational Research Society. v. 41, p. 1069-1072, 1990.
- [4] Beasley, J.E. *Lagrangean heuristics for Location problems*. European Journal of Operational Research. v. 65, p. 383-399, 1993.
- [5] Christofides, N.; Beasley, J.E. *A tree search algorithm for the p-median problems*. European Journal of Operational Research. v. 10, p. 196-204, 1982.
- [6] Davis, L.D., *Handbook of Genetic Algorithms*. Van Nostrand Reinhold, 1991.
- [7] De Jong, K. *An analysis of the behavior of a class of genetic adaptive systems*. Ph.D. thesis, University of Michigan, Ann Arbor, MI, 1975.
- [8] Densham, P.J., Rushton, G. *A more efficient heuristic for solving large P-median problems*. Papers in Regional Science v.71, p. 307-329, 1992.
- [9] Efroymsen, M. A. and Ray, T. L. *A branch-and-bound algorithm for plant location* Operations Research v.14, p. 361-368, 1966.
- [10] Galvão, R.D.; Raggi, L.A. *A method for solving to optimality uncapacitated location problems*. Annals of Operations Research. v. 18, p. 225-244, 1989.
- [11] Galvão, R.D.; Ferreira Filho, V.J.M.; Rivas, M.P.A. *Some computational aspects of p-median type location problems*. VIII Congresso CLAIO/XXVIII SBPO, Rio de Janeiro, p. 1266-1271, 1996.
- [12] Garey, M. R.; Johnson, D. S., *Computers and Intractability: a Guide to the Theory of NP-Completeness*. San Francisco: Freeman, 1979.
- [13] Goldberg, D.E., *Genetic algorithms in search, optimization and machine learning*. Addison-Wesley, Reading, MA, p. 11-172, 1989.
- [14] Goldberg, D.E.; Korb, B.; Deb, K. *Messy genetic algorithms: Motivation, analysis, and first results*. Complex Systems v. 3: p. 493-530, 1989.
- [15] Goldberg, D.E.; Deb, K.; Kargupta, H.; Harik, G. *Rapid, accurate optimization of difficult problems using fast messy genetic algorithms*. IlliGAL Report No. 93004, Illinois Genetic Algorithms Laboratory, Department of General Engineering, University of Illinois, Urbana, 1993.
- [16] Goodchild, M. F.; Noronha, V. *Location-allocation for small computers*. Monograph No. 8, Department of Geography, University of Iowa, Iowa city, 1983.
- [17] Grefenstette, J.J. *Proceedings of the second int'l conference on genetic algorithms and their applications*. Hillsdale, NJ, Lawrence Erlbaum, 1987.
- [18] Hakimi, S.L. *Optimum distribution of switching centers and the absolute centers and the medians of a graph*. Operations Research. v. 12, p. 450-459, 1964.
- [19] Hakimi, S.L. *Optimum distribution of switching centers in a communication network and some related graph theoretic problems*. Operations Research. v.13, p. 462-475, 1965.
- [20] Holland, J.H., *Adaptation in natural and artificial systems*. MIT Press, p. 11-147, 1975.
- [21] Jarvinen, P.; Rajala, J. ; Sinervo, H. *A branch and bound algorithm for seeking the p-median*. Operations Research, v. 20, p. 173-178, 1972.
- [22] Johnson, E.L.; Mehrotra, A. *Min-Cut Clustering*. Working paper. School of Industrial & Systems Engineering, Georgia Institute of Technology, Atlanta, 1992.
- [23] Kargupta, H. *Search, Polynomial Complexity, and The Fast Messy Genetic Algorithm*, Ph.D. thesis, IlliGAL Report No. 95008, Illinois Genetic Algorithms Laboratory,

- Department of General Engineering, University of Illinois, Urbana, 1995.
- [24] Klein, K. ; Aronson, J.E. *Optimal clustering: a model and method.* Naval Research Logistics, v. 38, p. 447-461, 1991.
- [25] Lorena, L.A.N.; Lopes, F.B. *A dynamic list heuristic for 2D-cutting.* In J. Dolezal and J. Fidler eds., System Modeling and Optimization, Chapman-hall, p. 481-488, 1996a.
- [26] Lorena, L.A.N.; Lopes, L.S. *Computational experiments with genetic algorithms applied to set covering problems.* Pesquisa Operacional, 16, p. 41-53, 1996b.
- [27] Lorena, L.A.N.; Lopes, L.S. *Genetic algorithms applied to computationally difficult set covering problems.* Journal of the Operational Research Society, 48, p. 440-445, 1997.
- [28] Michalewicz, Z., Genetic Algorithms + Data Structures = Evolution Programs. Springer-Verlag, Berlin, 1996.
- [29] Mitchell, M., An Introduction to Genetic Algorithms. MIT Press, Cambridge, England, 1996.
- [30] Mulvey, J. M.; Beck, M.P. *Solving capacitated clustering problems.* European Journal of Operational Research, v. 18, p. 339-348, 1984.
- [31] Neebe, A.W. *A branch and bound algorithm for the p-median transportation problem.* Journal of the Operational Research Society. v. 29, p. 989-995, 1978.
- [32] Osman, I. H.; Christofides, N. *Capacitated clustering problems by hybrid simulated annealing and tabu search.* International Transactions in Operational Research, v. 1, n. 3, p. 317-336, 1994.
- [33] Pearl, J., Heuristics – Intelligent search strategies for computer problem solving, Addison-Wesley Publishing Company, MA, 1985.
- [34] Ribeiro Filho, G. *Uma heurística construtiva para coloração de grafos.* Master thesis, INPE, 1997.
- [35] Rolland, E., Schilling, D. A., Current, J. R., *An efficient Tabu search procedure for the p-median problem.* European Journal of Operational Research 96, 329-342, 1997.
- [36] Rosing, K. E., ReVelle, C. S., *Heuristic concentration; Two stage solution construction.* European Journal of Operational Research 97, 75-86, 1997.
- [37] Rosing, K. E., ReVelle, C. S., Schilling D. A. and Current, J. R. *Heuristic concentration and Tabu search: A head to head comparison.* European Journal of Operational Research, 93-99. 1998.
- [38] Senne, E.L.F.; Lorena, L.A.N. *A lagrangean/surrogate approach to facility location problems, EURO-TIMS Congress – Barcelona, 1997.*
- [39] Spath, H., *Cluster Analysis Algorithms for data reduction and classification of objects.* Ellis Horwood Publishers, New York, 1980.
- [40] Teitz, M.B.; Bart, P. *Heuristic methods for estimating the vertex median of a weighted graph.* Operations Research. v. 16, p. 955-961, 1968.
- [41] Zupan, J., Clustering of Large Data Sets. John Wiley & Sons, New York, 1982